

05.2;11;12

# МАГНИТОРЕЗИСТИВНЫЙ ЭФФЕКТ В ТОНКИХ ПЛЕНКАХ ЛЕГИРОВАННЫХ МАНГАНИТОВ ЛАНТАНА

© В.А.Козлов, Я.М.Муковский, О.М.Урман, А.В.Шматок

## 1. Введение

Поиск материалов с высоким магнетосопротивлением ( $M\sigma, \Delta R/R_H = (R(0) - R(H))/R(H)$ , где  $R(H) = R_H$  — сопротивление в магнитном поле  $H$ ) интенсивно ведется длительное время, главным образом с целью создания новых устройств для считывания магнитной записи, а также для создания различных датчиков и преобразователей магнитного поля.

Обнаружение гигантского отрицательного магнетосопротивления (ГМС) в легированных манганитах лантана привлекло к ним повторное широкое внимание исследователей [1-3]. Эти соединения имеют состав  $La_{1-x}A_xMnO_{3+y}$ , где A — атомы Ca, Sr, Ba, Pb и Cd, они обладают структурой перовскита и имеют смешанную валентность Mn.

ГМС в этих соединениях (до 127 000% в поле 6 Т [3]) наблюдалось в области ферромагнитного перехода на кристаллически совершенных тонкопленочных и объемных монокристаллических образцах. Свойства образцов чрезвычайно чувствительны к способу и режиму их получения, в том числе и к последующей термообработке.

Одним из очевидных преимуществ этих соединений перед разрабатываемыми в настоящее время для создания материалов с высоким МС слоистыми структурами, имеющими ферромагнитные и немагнитные слои, помимо большой величины МС является достаточно высокая температура, при которой наблюдается ГМС. В тонких пленках этих соединений обнаружен магнитооптический эффект Фарадея, сравнимый по величине с эффектом в ферроиттриевом гранате [4].

Также эти материалы могут рассматриваться как перспективные для разработки спинового (управляемого магнитным полем) транзистора, о создании прототипа которого сообщено в этом году [5]. Вместе с тем эти материалы используются в керамическом виде как высокотемпературные проводники для электрохимических устройств и в качестве катализаторов.

В настоящей работе изучалось влияние условий получения тонких пленок  $\text{La}_{1-x}\text{Ca}_x\text{MnO}_3$  на их структуру и температурную зависимость электросопротивления в малых магнитных полях.

## 2. Экспериментальная часть

Мишени стехиометрического состава  $\text{La}_{0.7}\text{Ca}_{0.3}\text{MnO}_3$  изготавливали по стандартной керамической технологии из карбонатов и/или оксидов с последующим перетиранием и с окончательным спеканием при температуре  $T = 1300^\circ\text{C}$ . Тонкие пленки получали методом реактивного магнетронного напыления на подложки из  $\text{SrTiO}_3$  ( $a = 0.390 \text{ нм}$ ). Температура подложки составляла  $550 - 800^\circ\text{C}$ , парциальное давление кислорода поддерживалось в диапазоне  $2 - 5 \text{ м/Тор}$ . Толщина пленок составляла  $200 - 400 \text{ нм}$ . Из результатов рентгеновского анализа следует, что пленки имеют структуру перовскита с постоянной решетки  $a = 0.385 - 0.389 \text{ нм}$  и являются монокристаллическими.

Электросопротивление пленок измерялось по четырехточечной схеме на переменном токе частотой  $26 \text{ Гц}$ . Магнитное поле  $0.13 \text{ Т}$  создавалось постоянным магнитом  $\text{Co}_5\text{Sm}$  и прилагалось в плоскости пленки перпендикулярно току. Температура Кюри  $T_c$  определялась по измерениям магнитной восприимчивости методом дифференциального трансформатора.

## 3. Результаты и их обсуждение

На рис. 1, 2 приведены температурные зависимости сопротивления  $R(T)$  пленочных образцов  $\text{La}_{0.7}\text{Ca}_{0.3}\text{MnO}_3$ , полученных при различных температурах подложки  $T_s$ . При понижении температуры происходит магнитный переход в ферромагнитное состояние. Ниже  $T_c R(T)$  приобретают металлический характер.

Для описания физических свойств манганитов лантана была предложена модель двойного обмена [6], объясняющая влияние ферромагнитного состояния на проводимость этих соединений. Обменное взаимодействие между ионами Mn осуществляется за счет суперобмена через ионы кислорода, причем взаимодействие  $\text{Mn}^{3+}-\text{Mn}^{3+}$  носит антиферромагнитный, а  $\text{Mn}^{3+}-\text{Mn}^{4+}$  и  $\text{Mn}^{4+}-\text{Mn}^{4+}$  — ферромагнитный характер. В ферромагнитном состоянии, согласно [6], высока вероятность перескока носителей между  $\text{Mn}^{3+}$  и  $\text{Mn}^{4+}$  без переворота спина. Вследствие этого ниже  $T_c$  сопротивление падает при переходе в ферромагнитное состояние.

$R/R_{300}$

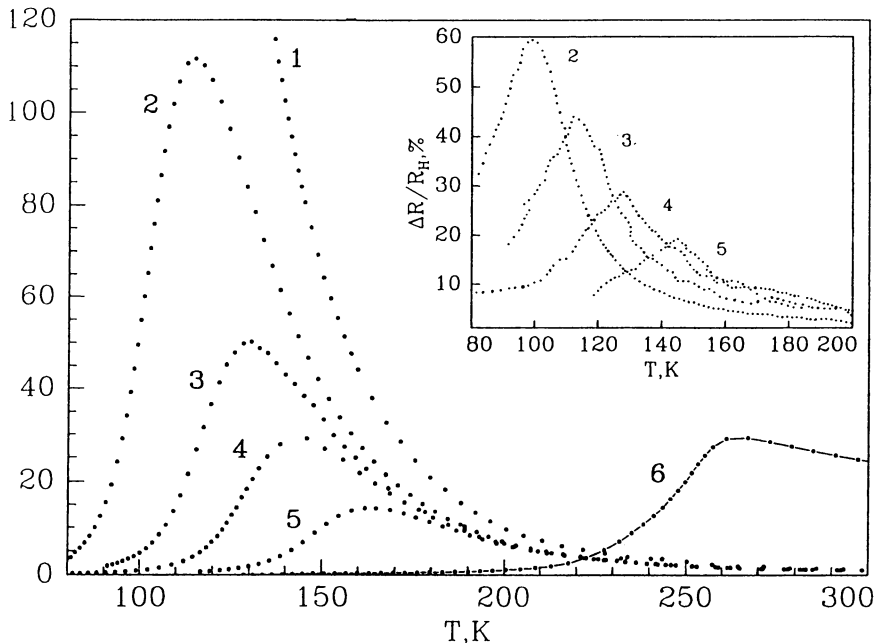


Рис. 1. Температурные зависимости сопротивления  $R/R_{300}$  и магнетосопротивления  $\Delta R/R_H$  (вставка) пленок  $\text{La}_{0.7}\text{Ca}_{0.3}\text{MnO}_3$ , полученных при различных температурах подложки  $T_s$ : 1 —  $T_s = 590^\circ\text{C}$ , 2 —  $T_s = 605^\circ\text{C}$ , 3 —  $T_s = 620^\circ\text{C}$ , 4 —  $T_s = 660^\circ\text{C}$ , 5 —  $T_s = 700^\circ\text{C}$ , 6 —  $T_s = 605^\circ\text{C}$ ; отжиг 30 мин при  $650^\circ\text{C}$  в кислороде,  $20 \cdot R/R_{300}$ .

Приложение внешнего магнитного поля затрудняет переворот спинов, приводя к дальнейшему падению сопротивления.

С уменьшением  $T_s$  максимум на  $R(T)$  увеличивается и смещается к более низким температурам; в то же время  $\Delta R/R_H$  также возрастает и достигает 60% при 105 K (см. вставку на рис. 1).

Энергия активации в полупроводниковой области для пленок в исходном состоянии при температуре выше  $T_c$  равна 0.16 эВ. Отжиг в кислороде приводит к значительному уменьшению сопротивления и сдвигу максимума на  $R(T)$  к более высокой температуре (рис. 1). В то же время энергия активации уменьшается до 0.036 эВ и  $\Delta R/R_H$  резко падает. Такое поведение согласуется с зонной моделью, предложенной на основании исследования рентгеновских фотоэлектронных и УФ фотоэмиссионных спектров соединений  $\text{La}_{1-x}\text{Sr}_x\text{MnO}_3$  [7], согласно которой увеличение концентрации элемента A или содержания кислорода при-

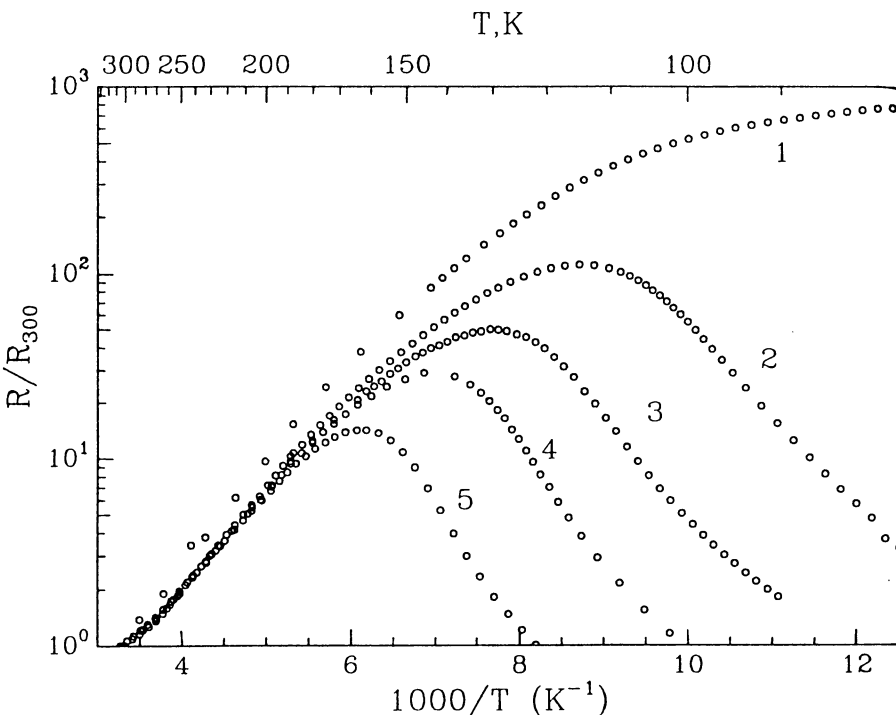


Рис. 2. Температурная зависимость сопротивления пленок  $\text{La}_{0.7}\text{Ca}_{0.3}\text{MnO}_3$ , полученных при различных температурах подложек  $T_s$ , в координатах  $\lg(R/R_{300}) - 1000/T$ : 1 —  $T_s = 590^\circ\text{C}$ , 2 —  $T_s = 605^\circ\text{C}$ , 3 —  $T_s = 620^\circ\text{C}$ , 4 —  $T_s = 660^\circ\text{C}$ , 5 —  $T_s = 700^\circ\text{C}$ .

водит к возникновению дырочных состояний в запрещенной зоне и уменьшению ее ширины.

В отличие от пленок, полученных лазерным напылением на подложки  $\text{LaAlO}_3$  с последующей термообработкой [1–3], наши пленки имеют более высокие значения максимумов  $R(T)$  и  $\Delta R/R_H$  (максимальное значение МС в поле 0.1 Т составляет 46%, в то время как опубликованное рекордное значение для 0.1 Т — 17% [3]). Причиной этого может быть деформация пленок, возникающая при их натяжении на решетку подложки. Следует отметить, что настоящие пленки со столь высокими параметрами были получены в результате одностадийного процесса, без последующей термообработки.

Авторы благодарят А.М. Ионова и Г.К. Струкову за помощь в приготовлении мишней, А.М. Ионова и С.Г. Карабашева за участие в обсуждении результатов.

## **Список литературы**

- [1] *Von Helmolt R., Wecker J., Holzapfel B.* et al. // Phys. Rev. Lett. 1993. V. 71. N 14. P. 2331–2333.
- [2] *Chahara K., Ohno T.* et al. // Appl. Phys. Lett. 1993. V. 63. N 14. P. 1990–1992.
- [3] *Jin S., Tiefel T.H., McCormack M.* et al. // Science. 1994. V. 264. P. 413–415.
- [4] *Lawler J.F., Lunney J.G., Coey J.M.D.* // Appl. Phys. Lett. 1994. V. 65. N 23. P. 3017–3018.
- [5] *Monsma D.J., Lodder J.C., Popma Th.J.A., Dieny B.* // Phys. Rev. Lett. 1995. V. 74. N 26. P. 5260–5263.
- [6] *Zener C.* // Phys. Rev. 1951. V. 82. P. 403–405.
- [7] *Chainani A., Mathew M., Sarma D.D.* // Phys. Rev. B. 1993. V. 47. N 23. P. 15 397–15 403.

Московский институт  
стали и сплавов

Поступило в Редакцию  
1 декабря 1995 г.

---